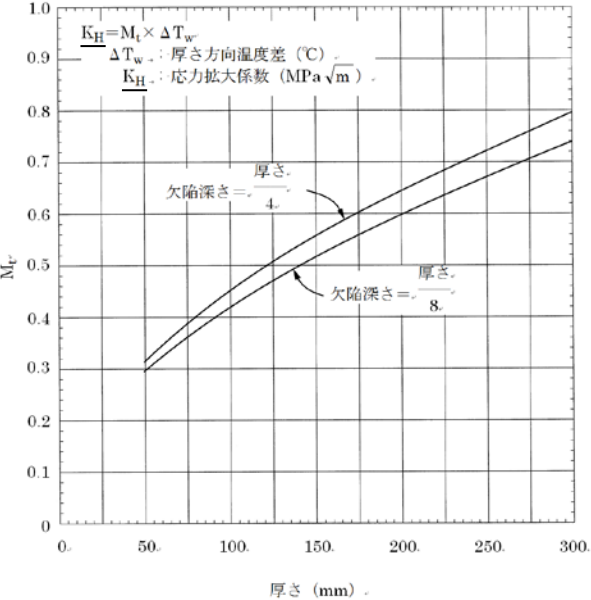
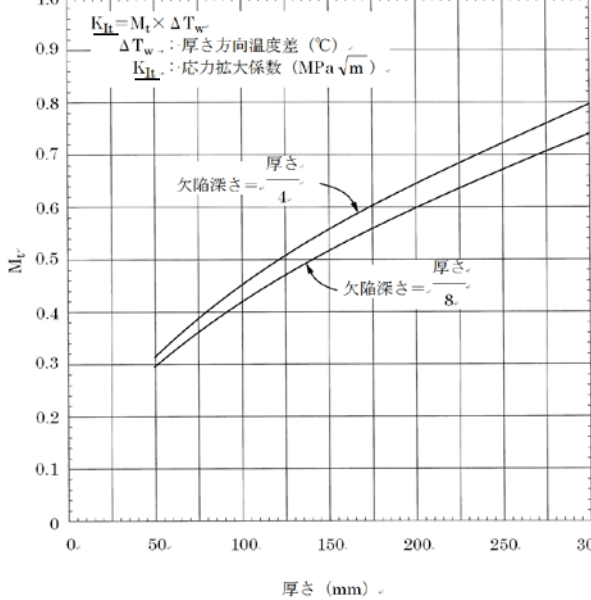
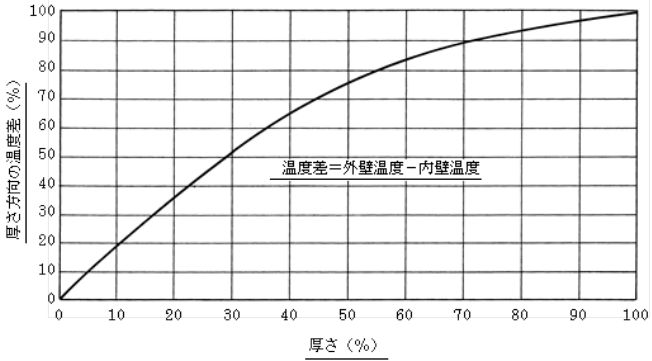
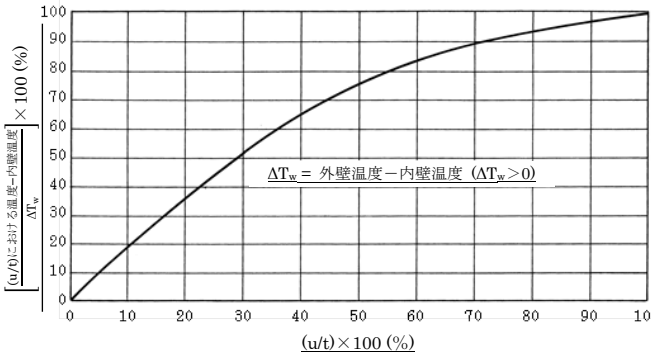


～ 規格本文 ～

No.	ページ番号	規格番号	誤	正	備考
第 4 章 容器					
1	I-4-259	添付 4-A 2.	<p>.....</p> <p>t, T : 板厚 (肉厚) (mm)</p> <p>.....</p> <p>R_i : 円筒 <u>内径</u> (mm)</p> <p>R_o : 円筒 <u>外径</u> (mm)</p> <p>γ, R : 円筒平均半径 (mm)</p> <p>.....</p> <p>M : 曲げモーメント (<u>$N \cdot m$</u>)</p> <p>N : 膜力 (N)</p> <p>σ : 分布応力 (MPa)</p> <p>.....</p>	<p>.....</p> <p>t : 板厚 (肉厚) (mm)</p> <p>.....</p> <p>R_i : 円筒 <u>内半径</u> (mm)</p> <p>R_o : 円筒 <u>外半径</u> (mm)</p> <p>R : 円筒平均半径 (mm)</p> <p>.....</p> <p>M : 曲げモーメント (<u>$N \cdot mm$</u>)</p> <p>σ : 分布応力 (MPa)</p> <p>.....</p>	2001 年版以降
2	I-4-260	式(添付 4-A-1)	$K_{Im} = M_m \times \underline{\text{(膜応力)}}$	$K_{Im} = M_m \times \underline{\sigma_m}$	2001 年版以降

No.	ページ番号	規格番号	誤	正	備考
3	I-4-260	図 添付 4-A-1	<p>図 添付 4-A-1 M_n と厚さの関係</p>	<p>図 添付 4-A-1 M_n と厚さの関係</p>	2001 年版以降
4	I-4-260	式(添付 4-A-2)	$K_{Ib} = M_b \times \underline{\text{(曲げ応力)}}$	$K_{Ib} = M_b \times \underline{\sigma_b}$	2001 年版以降
5	I-4-261	式(添付 4-A-3)	$\underline{K_{It}} = M_t \times \underline{\text{(温度差)}}$	$\underline{K_{It}} = M_t \times \underline{\Delta T_W}$	2001 年版以降

No.	ページ番号	規格番号	誤	正	備考
6	I-4-261	図 添付 4-A-2	 <p>(備考) 上記の曲線は、$\alpha = 1.26 \times 10^{-5} \text{mm/mm} \cdot ^\circ\text{C}$、$E = 2.0 \times 10^5 \text{N/mm}^2$、$\nu = 0.3$ に対するものである。</p>	 <p>(備考) 上記の曲線は、$\alpha = 1.26 \times 10^{-5} \text{mm/mm} \cdot ^\circ\text{C}$、$E = 2.0 \times 10^5 \text{MPa}$、$\nu = 0.3$ に対するものである。</p>	2001 年版以降

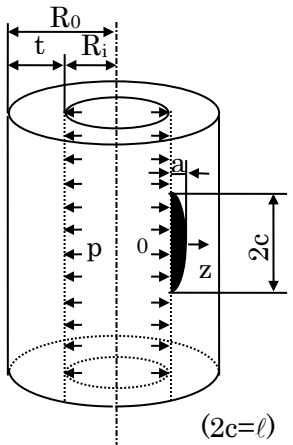
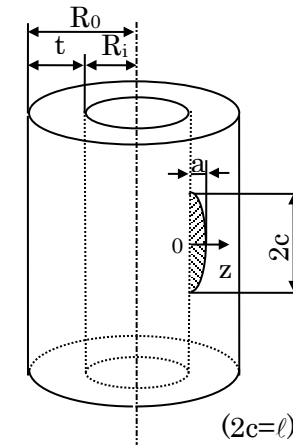
No.	ページ番号	規格番号	誤	正	備考
7	I-4-262	図 添付 4-A-3			2001 年版以降
8	I-4-263	式(添付 4-A-4)	$K_I = [(A_0 + \underline{A_p})G_0 + A_1G_1 + A_2G_2 + A_3G_3] \sqrt{\pi a/Q}$	$K_I = \frac{1}{\sqrt{1000}} [(A_0 + \underline{A_p})G_0 + A_1G_1 + A_2G_2 + A_3G_3] \sqrt{\pi a/Q}$	2001 年版以降
9	I-4-263	式(添付 4-A-6)	$\underline{A_p} = P$	$\underline{A_p} = p$	2001 年版以降
10	I-4-263	式(添付 4-A-8)	$q_y = [(A_0G_0 + A_1G_1 + A_2G_2 + A_3G_3)/\underline{s_{ys}}]^2 / 6$	$q_y = [(A_0G_0 + \underline{A_p}G_0 + A_1G_1 + A_2G_2 + A_3G_3)/\underline{\sigma_{ys}}]^2 / 6$	2008 年版以降

No.	ページ番号	規格番号	誤	正	備考
11	I-4-264	式(添付 4-A-9)	$K_I = \frac{[\sigma_m M_m + \sigma_b M_b] \sqrt{\pi a/Q}}{\underline{\quad\quad\quad}}$	$K_I = \frac{1}{\sqrt{1000}} \frac{[(\sigma_m + A_p) M_m + \sigma_b M_b] \sqrt{\pi a/Q}}{\underline{\quad\quad\quad}}$	2008 年版以降
12	I-4-264	式(添付 4-A-13)	$q_y = [(\sigma_m M_m + \underline{A_p} M_m + \sigma_b M_b) / \sigma_{ys}]^2 / 6$	$q_y = [(\sigma_m M_m + \underline{A_p} M_m + \sigma_b M_b) / \sigma_{ys}]^2 / 6$	2001 年版以降
13	I-4-264	式(添付 4-A-14)	$\underline{A_p = P}$	$\underline{A_p = p}$	2001 年版以降
14	I-4-266	式(添付 4-A-15)	$K_I = \sqrt{\pi a} (\sigma_t f_t + \sigma_b f_b)$	$K_I = \frac{1}{\sqrt{1000}} \sqrt{\pi a} (\sigma_t f_t + \sigma_b f_b)$	2001 年版以降
15	I-4-267	式(添付 4-A-21)	$f_b^B = [(1 - 0.34a/t - 0.22(a/t)(\underline{2/\ell}))] \cdot f_t^B$	$f_b^B = [(1 - 0.34a/t - 0.22(a/t)(\underline{a/\ell}))] \cdot f_t^B$	2001 年版以降
16	I-4-267	添付 4-A 3.4.4	<u>I.S.Raju and J.C.Newman, “Stress Intensity . . . ,1981,pp.1-9</u> <u>I.S.Raju and J.C.Newman, “An Empirical Stress Intensity Factor Equations . . .</u>	<u>J.C.Newman,Jr. and I.S.Raju, “Stress-Intensity . . . ,1981,pp.1-12</u> <u>J.C.Newman,Jr. and I.S.Raju, “ An Empirical Stress-Intensity Factor Equation . . .</u>	2001 年版以降

No.	ページ番号	規格番号	誤	正	備考
17	I-4-268	式(添付 4-A-23)	$\sigma = \sigma_0 + \sigma_1 \xi + \underline{\sigma_1} \xi^2 + \underline{\sigma_1} \xi^3$	$\sigma = \sigma_0 + \sigma_1 \xi + \underline{\sigma_2} \xi^2 + \underline{\sigma_3} \xi^3$	2001 年版以降
18	I-4-268	式(添付 4-A-25)	$K_i = F_i \sqrt{\pi a / Q}, Q = 1 + 1.464 \left(\frac{2a}{l} \right)^{1.65}$	$K_i = \frac{1}{\sqrt{1000}} F_i \sqrt{\pi a / Q}, Q = 1 + 1.464 \left(\frac{2a}{l} \right)^{1.65}$	2001 年版以降
19	I-4-269	図 添付 4-A-8			2001 年版以降 (Z 軸(欠陥部の塗潰し)と穴内部下側破線の修正)
20	I-4-269	4.1.2 適用範囲	(1) 内圧 $0.05 \leq a/t \leq 0.85$ $0.1 \leq a/c \leq 1$ $0.2 \leq \alpha$ $1 \leq R_i/t \leq 10$	(1) 内圧 $0.05 \leq a/t \leq 0.85$ $0.1 \leq a/c \leq 1$ $0.2 \leq \alpha$ $1 \leq R_i/t \leq 10$ α は式 添付 4-A-29 による。	2001 年版以降

No.	ページ番号	規格番号	誤	正	備考
21	I-4-270	式(添付 4-A-26)	$K_I = \sigma_h \sqrt{\pi t} \cdot F$	$K_I = \frac{1}{\sqrt{1000}} \sigma_h \sqrt{\pi t} \cdot F$	2001 年版以降
22	I-4-270	式(添付 4-A-27)	$\sigma_h = P \frac{R_0^2 + R_i^2}{R_0^2 - R_i^2}$	$\sigma_h = p \frac{R_0^2 + R_i^2}{R_0^2 - R_i^2}$	2001 年版以降
23	I-4-270	式(添付 4-A-29)	$\underline{a} = (a/t)/(a/c)^{0.58}$	$\underline{\alpha} = (a/t)/(a/c)^{0.58}$	2001 年版以降
24	I-4-270	式(添付 4-A-30)	$K_I = \sigma_h \sqrt{\pi t} \cdot F_S$	$K_I = \frac{1}{\sqrt{1000}} \sigma_h \sqrt{\pi t} \cdot F_S$	2001 年版以降
25	I-4-270	式(添付 4-A-32)	$K_I = \sqrt{\pi t} \cdot \left[\sum_{i=0}^3 \sigma_i G_i \right]$	$K_I = \frac{1}{\sqrt{1000}} \sqrt{\pi t} \cdot \left[\sum_{i=0}^3 \sigma_i G_i \right]$	2001 年版以降
26	I-4-270	添付 4-A 4.1.3 (2) a.	係数 A_i , $\underline{I} = 0 \sim 5$ および m の値は、・・・	係数 A_i , $\underline{i} = 0 \sim 5$ および m の値は、・・・	2001 年版以降
27	I-4-270	式(添付 4-A-36)	$K_I = \sqrt{\pi t} \cdot \left[\sum_{i=0}^3 \sigma_i G_{Si} \right]$	$K_I = \frac{1}{\sqrt{1000}} \sqrt{\pi t} \cdot \left[\sum_{i=0}^3 \sigma_i G_{Si} \right]$	2001 年版以降

No.	ページ番号	規格番号	誤	正	備考
28	I-4-270	式(添付 4-A-37)	$G_{Si} = G_i \cdot [A_6 + A_7(a/t)^2] (a/c)^r$	$G_{Si} = G_i \cdot [A_6 + A_7(a/t)^2] (a/c)^r$	2001 年版以降
29	I-4-271	添付 4-A 4.1.3 (2) b.	係数 $A_i, i = 6 \sim 7$ および r の値は、・・・	係数 $A_i, i = 6 \sim 7$ および r の値は、・・・	2001 年版以降
30	I-4-271	4.1.4 参考文献	I.S.Raju and J.C.Newman, “ <u>Stress Intensity Factor Internal and External Surface Cracks in Cylindrical Vessels</u> ” , <u>ASME J. of Pressure Vessel Technology</u> , <u>106</u> , 1982, pp.293-298. C.L.Tan and R.T.Fenner, “ <u>Stress Intensity Factor for Semi-Elliptical Surface Cracks . . . Method</u> ” , <u>Intl. J. of Fracture</u> , <u>16</u> , 1980, pp.233-245.	<u>A. Zahoor, "Ductile Fracture Handbook Volume 3", EPRI NP-6301, V3, 1991, pp.8-1-9 - 8-1-21, 8-1-51 - 8-1-65.</u> I.S.Raju and J.C.Newman,Jr., “ <u>Stress-Intensity Factors for Internal and External Surface Cracks in Cylindrical Vessels</u> ” , <u>Journal of Pressure Vessel Technology</u> , <u>104</u> , 1982, pp.293-298. C.L.Tan and R.T.Fenner, “ <u>Stress Intensity Factors for Semi-Elliptical Surface Cracks . . . Method</u> ” , <u>Intl. J. of Fracture</u> , <u>16</u> , 1980, pp.233-245.	2001 年版以降

No.	ページ番号	規格番号	誤	正	備考
31	I-4-271	図 添付 4-A-9	 <p style="text-align: center;">(2c=l)</p>	 <p style="text-align: center;">(2c=l)</p>	2001 年版以降 (内圧 p の削除、Z 軸(欠陥部の塗潰し)と穴内部下側破線の修正)
32	I-4-271	式(添付 4-A-41)	$K_i = F_i \sqrt{\pi a / Q}$	$K_i = \frac{1}{\sqrt{1000}} F_i \sqrt{\pi a / Q}$	2001 年版以降

No.	ページ番号	規格番号	誤	正	備考
33	I-4-273	図 添付 4-A-10	<p> σ_k = 胴のフープ応力 ノズル内径=30mm $\sqrt{1000} K_I / \sigma_k$ ($\sqrt{\text{mm}}$) \sqrt{a} ($\sqrt{\text{mm}}$) a (mm) 胴の半楕円表面欠陥 長さ = 6 × 深さ </p>	<p> σ_k = 胴のフープ応力 ノズル内径=762mm $\sqrt{1000} K_I / \sigma_k$ ($\sqrt{\text{mm}}$) \sqrt{a} ($\sqrt{\text{mm}}$) a (mm) 胴の半楕円表面欠陥 長さ = 6 × 深さ </p>	2001年版以降

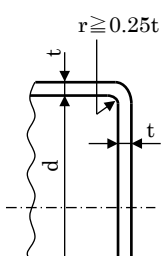
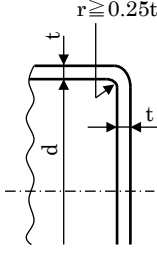
No.	ページ番号	規格番号	誤	正	備考
34	I-4-275	図 添付 4-A-11	<p style="text-align: center;">クラック寸法と穴又はノズル半径との比 a/r_n</p>	<p style="text-align: center;">欠陥寸法と穴又はノズル半径との比 a/r_n</p>	2001 年版以降 (○のプロットを 1 か所修正)
35	I-4-276	添付 4-A 5.2.2	<p>(1) 内圧</p> $a/t_m \leq 0.8$ $\underline{R}_{is} / R_{im} \leq 0.4$ <p>(2) 任意分布応力</p> $a/t_m \leq 0.8$ $\underline{R}_{is} / R_{im} \leq 0.6$ $a / \underline{R}_{is} \leq 3$	<p>(1) 内圧</p> $a/t_m \leq 0.8$ $\underline{R}_{is} / R_{im} \leq 0.4$ <p>(2) 任意分布応力</p> $a/t_m \leq 0.8$ $\underline{R}_{is} / R_{im} \leq 0.6$ $a / \underline{R}_{is} \leq 3$	2001 年版以降
36	I-4-276	式(添付 4-A-45)	$K_I = \sigma_h \sqrt{\pi a} \left[1 + \sqrt{R_{is} r_s / R_{im} t_m} \right] f$	$K_I = \frac{1}{\sqrt{1000}} \sigma_h \sqrt{\pi a} \left[1 + \sqrt{R_{is} t_s / R_{im} t_m} \right] f$	2001 年版以降

No.	ページ番号	規格番号	誤	正	備考
37	I-4-276	式(添付 4-A-46)	$K_I = \sqrt{\pi a} (A_{10} f_{10} + A_{01} f_{01} + A_{20} f_{20} + A_{02} f_{02} + A_{30} f_{30} + A_{03} f_{03}) f$	$K_I = \frac{1}{\sqrt{1000}} \sqrt{\pi a} (A_{00} f_{00} + A_{10} f_{10} + A_{01} f_{01} + A_{20} f_{20} + A_{02} f_{02} + A_{30} f_{30} + A_{03} f_{03}) f$	2001 年版以降
38	I-4-276	式(添付 4-A-43)	$\sigma = A_{00} + A_{10}(1+u/a) + A_{01}(1-v/a) + A_{10}(1-u/a)^2 + A_{01}(1-v/a)^2 + A_{10}(1-u/a)^3 + A_{01}(1-v/a)^3$ (添付 4-A-43)	$\sigma = A_{00} + A_{10}(1-u/a) + A_{01}(1-v/a) + A_{20}(1-u/a)^2 + A_{02}(1-v/a)^2 + A_{30}(1-u/a)^3 + A_{03}(1-v/a)^3$ (添付 4-A-47)	2001 年版以降
39	I-4-276	添付 4-A 5.2.3(2)	<u>係数 F_{ij}^A, F_{ij}^B, F_{ij}^C は、表 添付 4-A-8 を参照のこと。</u>	<u>欠陥の位置 A、B、C における係数 f_{ij} (f_{ij}^A, f_{ij}^B, f_{ij}^C) は表 添付 4-A-8、係数 f (f^A, f^B, f^C) は、表 添付 4-A-9 を参照のこと。</u>	2001 年版以降
40	I-4-276	添付 4-A 5.2.4(2)	A.S.Kobayashi, N.Polvanich, A.F.Emery and W.J. Low e, “Corner Crack at a Nozzle” Proc. 3 rd int. . . .	A.S.Kobayashi, N.Polvanich, A.F.Emery and W.J.Love, “Corner Crack at a Nozzle”, Proc. 3 rd int. . . . <u>M. Bergman, B.Brickstad, L. Dahlberg, F. Nilsson and I. Sattari-Far, “A Procedure for Safety Assessment of Components with Cracks - Handbook”, SA/FoU-Report, 91/01, The Swedish Plant Inspectorate, 1991.</u>	2001 年版以降

No.	ページ番号	規格番号	誤	正	備考																																																								
41	I-4-281	表 添付 4-A-3	<p>表 添付 4-A-3 最深点 A および表面点 B での係数</p> <table border="1"> <thead> <tr> <th rowspan="2">2a / ℓ</th> <th rowspan="2"></th> <th colspan="4">a / t</th> </tr> <tr> <th>...</th> <th colspan="3">Cubic (F₃)</th> </tr> <tr> <td>...</td> <td></td> <td>...</td> <td>0.4</td> <td>0.6</td> <td>0.8</td> </tr> </thead> <tbody> <tr> <td>2.0</td> <td>A</td> <td>...</td> <td>0.065</td> <td>0.064</td> <td>0.050</td> </tr> <tr> <td></td> <td>B</td> <td>...</td> <td>1.062</td> <td><u>1.005</u></td> <td>1.135</td> </tr> </tbody> </table>	2a / ℓ		a / t				...	Cubic (F ₃)			0.4	0.6	0.8	2.0	A	...	0.065	0.064	0.050		B	...	1.062	<u>1.005</u>	1.135	<p>表 添付 4-A-3 最深点 A および表面点 B での係数</p> <table border="1"> <thead> <tr> <th rowspan="2">2a / ℓ</th> <th rowspan="2"></th> <th colspan="4">a / t</th> </tr> <tr> <th>...</th> <th colspan="3">Cubic (F₃)</th> </tr> <tr> <td>...</td> <td></td> <td>...</td> <td>0.4</td> <td>0.6</td> <td>0.8</td> </tr> </thead> <tbody> <tr> <td>2.0</td> <td>A</td> <td>...</td> <td>0.065</td> <td>0.064</td> <td>0.050</td> </tr> <tr> <td></td> <td>B</td> <td>...</td> <td>1.062</td> <td><u>1.115</u></td> <td>1.135</td> </tr> </tbody> </table>	2a / ℓ		a / t				...	Cubic (F ₃)			0.4	0.6	0.8	2.0	A	...	0.065	0.064	0.050		B	...	1.062	<u>1.115</u>	1.135	2001 年版以降
2a / ℓ		a / t																																																											
		...	Cubic (F ₃)																																																										
...		...	0.4	0.6	0.8																																																								
2.0	A	...	0.065	0.064	0.050																																																								
	B	...	1.062	<u>1.005</u>	1.135																																																								
2a / ℓ		a / t																																																											
		...	Cubic (F ₃)																																																										
...		...	0.4	0.6	0.8																																																								
2.0	A	...	0.065	0.064	0.050																																																								
	B	...	1.062	<u>1.115</u>	1.135																																																								
42	I-4-283	表 添付 4-A-8	<p>表 添付 4-A-8 欠陥の位置 A、B、C における係数 $F_{ij}^A, F_{ij}^B, F_{ij}^C$ の値</p> <table border="1"> <thead> <tr> <th>ij</th> <th>F_{ij}^A</th> <th>F_{ij}^B</th> <th>F_{ij}^C</th> </tr> </thead> <tbody> <tr> <td>...</td> <td>...</td> <td>...</td> <td>...</td> </tr> </tbody> </table>	ij	F_{ij}^A	F_{ij}^B	F_{ij}^C	<p>表 添付 4-A-8 欠陥の位置 A、B、C における係数 $f_{ij} (f_{ij}^A, f_{ij}^B, f_{ij}^C)$ の値</p> <table border="1"> <thead> <tr> <th>ij</th> <th>f_{ij}^A</th> <th>f_{ij}^B</th> <th>f_{ij}^C</th> </tr> </thead> <tbody> <tr> <td>...</td> <td>...</td> <td>...</td> <td>...</td> </tr> </tbody> </table>	ij	f_{ij}^A	f_{ij}^B	f_{ij}^C	2001 年版以降																																								
ij	F_{ij}^A	F_{ij}^B	F_{ij}^C																																																										
...																																																										
ij	f_{ij}^A	f_{ij}^B	f_{ij}^C																																																										
...																																																										

No.	ページ番号	規格番号	誤	正	備考																																																
43	I-4-283	表 添付 4-A-9	_____	<p>表 添付 4-A-9 欠陥の位置 A、B、C における係数 f^A, f^B, f^C の値</p> <table border="1"> <thead> <tr> <th>a/R_{is}</th> <th>f^A</th> <th>f^B</th> <th>f^C</th> </tr> </thead> <tbody> <tr><td>0</td><td>0.64</td><td>0.64</td><td>0.64</td></tr> <tr><td>0.1</td><td>0.60</td><td>0.64</td><td>0.59</td></tr> <tr><td>0.2</td><td>0.57</td><td>0.64</td><td>0.55</td></tr> <tr><td>0.3</td><td>0.55</td><td>0.64</td><td>0.54</td></tr> <tr><td>0.4</td><td>0.54</td><td>0.64</td><td>0.52</td></tr> <tr><td>0.5</td><td>0.53</td><td>0.64</td><td>0.52</td></tr> <tr><td>1</td><td>0.51</td><td>0.64</td><td>0.49</td></tr> <tr><td>1.5</td><td>0.49</td><td>0.64</td><td>0.47</td></tr> <tr><td>2</td><td>0.47</td><td>0.64</td><td>0.46</td></tr> <tr><td>2.5</td><td>0.46</td><td>0.64</td><td>0.45</td></tr> <tr><td>3</td><td>0.46</td><td>0.64</td><td>0.43</td></tr> </tbody> </table>	a/R_{is}	f^A	f^B	f^C	0	0.64	0.64	0.64	0.1	0.60	0.64	0.59	0.2	0.57	0.64	0.55	0.3	0.55	0.64	0.54	0.4	0.54	0.64	0.52	0.5	0.53	0.64	0.52	1	0.51	0.64	0.49	1.5	0.49	0.64	0.47	2	0.47	0.64	0.46	2.5	0.46	0.64	0.45	3	0.46	0.64	0.43	2001 年版以降
a/R_{is}	f^A	f^B	f^C																																																		
0	0.64	0.64	0.64																																																		
0.1	0.60	0.64	0.59																																																		
0.2	0.57	0.64	0.55																																																		
0.3	0.55	0.64	0.54																																																		
0.4	0.54	0.64	0.52																																																		
0.5	0.53	0.64	0.52																																																		
1	0.51	0.64	0.49																																																		
1.5	0.49	0.64	0.47																																																		
2	0.47	0.64	0.46																																																		
2.5	0.46	0.64	0.45																																																		
3	0.46	0.64	0.43																																																		

第 5 章 管

1	I-5-10	表 PPB-3413-1 (b)	<p>取付け方法</p> <p>b)</p> 	<p>取付け方法</p> <p>(b)</p> 	2001 年版以降
---	--------	---------------------	--	---	-----------

No.	ページ番号	規格番号	誤	正	備考
2	I-5-10	表 PPB-3413-1 (e)	ただし、t から t _s へ移行するテーパは 1 対 4 またはそれより緩やかであり、かつ、 <u>左記</u> のいずれかに適合する場合、0.10 とすることができる。 (1) フランジの長さ l が次に適合すること。	ただし、t から t _s へ移行するテーパは 1 対 4 またはそれより緩やかであり、かつ、 <u>以下</u> のいずれかに適合する場合、0.10 とすることができる。 (1) フランジの長さ l が次に適合すること。	2001 年版以降
3	I-5-29	PPB-3536 (6)	b. a. 以外の管 $S_e = \frac{C_2 M_{is}}{Z_i} \leq 3S_m$ C ₂ : PPB-3811 に規定する応力係数	b. a. 以外の管 $S_e = \frac{C_2 M_{is}}{Z_i} \leq 3S_m$ C ₂ : PPB-3810 に規定する応力係数	2001 年版以降
4	I-5-34	PPB-3812.2 (2)	c. C ₃ は、..... いずれか小さい方の値とする。 t : a に定めるところによる。	c. C ₃ は、..... いずれか小さい方の値とする。 t : a ₂ に定めるところによる。	2001 年版以降
5	I-5-34	PPB-3812.2 (2)	<u>b.</u> C ₃ ' は 0.6 とする。	<u>d.</u> C ₃ ' は 0.6 とする。	2005 年版以降
6	I-5-98	図 PPC-4010-3	(t _F の記号の説明無し)	[備考] t _F : 継目のない容器または管の計算上必要な厚さ(mm)	2001 年版以降

No.	ページ番号	規格番号	誤	正	備考
7	I-5-138	図 PPD-4010-2	[備考] t_1, t_2 および t_2 : フランジの厚さ(mm) t_n, t_{n1} および t_{n2} : 容器または管の厚さ(mm)	[備考] t : フランジの厚さ(mm) t_n : 容器または管の厚さ(mm)	2010 年追補版以降